

(株)間組正員 上田勝基
○草深守人

1. まえがき

最近、わが国のアースアンカーの需要は急速に伸びており、またその利用範囲も欧米などに多様化されてきている。しかし、反面このようなアースアンカーの普及に伴い、設計・施工上に多くの問題点が浮彫りにされてきつつある。本文は以下に述べる二通りの手法に従って、実際に現場で実施されたアースアンカーの引抜き試験結果を解析し、その挙動と対象地盤の性状との関係について一検討を加えたものである。

2. 解析方法(1)

アースアンカーの引抜き試験結果より判断すると、アンカ一体の軸力分布は荷重の増大に伴なつて除々にアンカ一体下端側へ伝播し、同時にアンカ一体と地盤との相対変位を生じる領域も同様の変化を生じる。したがつて、荷重～変位量関係曲線の解析にあたつて、荷重の小さな段階でアンカ一体全長に変位領域、すなわち地盤との相対変位が発生していると考えるよりは、それぞれの荷重段階でアンカ一体の主たる変位領域（これを有効定着長と定義する）を仮定して周面摩擦強度を論じる方が妥当であると考えられる（図1）。

このような考え方方に立つて、解析手順を順をつけて説明する。i) アンカー頭部の実測変位量から自由長部の鋼材（鋼線、鋼棒）の弾性伸び量を除いたアンカ一体上端の荷重P～変位量 δ_a 曲線を求める（図2）。ii) アンカ一体上端より順次下端に向つて有効定着長 l_e を増加させ各々の l_e に対し、アンカ一体上端に単位荷重が作用した場合の l_e 部の弾性伸び量を計算し、図2上に有効定着部の荷重～変位量直線（ l_e 線と呼ぶ）を描く。この弾性伸び量の計算は有効定着部上端から下端に向つて軸力の三角形分布を仮定し、鋼材の伸び量として算定する。iii) P～ δ_a 曲線と l_e 線群の交点より、ある有効定着長 l_{ei} に対応する引抜き荷重 P_i を求める。iv) この P_i と l_{ei} より有効定着部周面に作用する摩擦抵抗応力度 $\tau_{ei} = P_i / \pi D l_{ei}$ （D: アンカ一体径）を計算する。v) P_i , l_{ei} に対する有効定着部の平均変位量 $\bar{\delta}_{ei}$ を計算する。この $\bar{\delta}_{ei}$ はアンカ一体上端の変位量 δ_{ai} から有効定着部上半分の変位量（ $3 P l_{ei} / 8 E A$, E および A はそれぞれ鋼材の弾性係数と断面積である）を差引いたものとする。vi) $\bar{\delta}_{ei}$ ～ τ_{ei} 曲線を方眼紙上にプロットし、 τ_{ei} の最大値を推定し、最大平均摩擦抵抗応力度 τ_{max} とする。

3. 解析方法(2)

解法(2)は、引抜き力を受けるアースアンカーの挙動が押込み力を受ける单すべりの挙動に類似なものであると仮定し、アンカ一体周面の摩擦抵抗応力度とアンカ一体の変位量 δ の間に次のような関係式（図3）を仮定し、マトリックス法により解析する。

$$\begin{cases} \delta \leq d & \tau = C_s \delta^{0.5} \\ \delta > d & \tau = \tau_{max} = \text{const} \end{cases} \quad \left. \begin{array}{l} \text{ここで } C_s: \text{アンカー周面の摩擦抵抗応力度係数} (\text{kg/cm}^{2.5}) \\ d: \text{降伏変位量 (cm)} \end{array} \right.$$

解析手順は文献i), ii)に紹介されているマトリックス法によるくわの非線形解析用プログラムを利用して、反復漸近法により、アンカーの荷重～変位量関係曲線を近似できるような C_s と d の値を求め、これと上式により τ_{max} ($= C_s d^{0.5}$) を計算する。

4. 解析結果と考察

現場引抜き試験データ56件を収集し、その中で、i)引抜き荷重とアンカー頭部の変位量、ii)アンカ一体長と自由長、iii)土質柱状図とN値が明確に記入されているものの27件について解析した。

(1) 解析方法(1)の結果

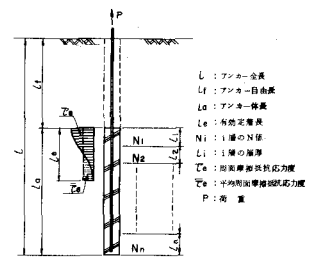


図1 アンカー断面図と記号の説明

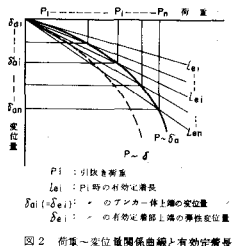


図2 荷重～変位量関係曲線と有効定着長

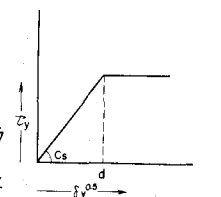


図3 周面摩擦抵抗応力度 (τ_y) と変位量 (δ_y) の非線形モデル

表1 解法(1), (2)によるアースアンカーの解析結果

解法(1)により求めた \bar{T}_{max} の結果を表1に示した。この \bar{T}_{max} と有効定着部の地盤の平均N値Nの関係を示すと図4のようになり、両者の間に次式のような相関性が認められた。

$$\bar{N} = \sum N_i l_i / \sum l_i \quad (\text{図1参照})$$

$$\bar{T}_{max} = 0.06 \bar{N} + 0.8 \text{ (kg/cm²)}$$

(2) 解析方法(2)の結果

解法(2)では27件のデータのうち、本解法の適用できたものは14件で、残り13件については解析できなかった。

C_s , d , T_{max} の解析結果は表1に示すが、 $C_s \sim \bar{N}$, $d \sim \bar{N}$, $T_{max} \sim \bar{N}$ の関係を図5, 図6, 図7に示す。また、 $C_s \sim \bar{N}$, $d \sim \bar{N}$, $T_{max} \sim \bar{N}$ についてそれぞれ下記のような相関性が認められた。

$$C_s = 0.06 \bar{N} + 1.24 \quad (\text{kg/cm}^2)$$

$$d = \bar{N} \text{ に無関係} \text{ ほぼ } 1.5 \text{ (cm)}$$

$$T_{max} = 0.09 \bar{N} + 1.5 \quad (\text{kg/cm}^2)$$

13件のデータに解法(2)が適用できなかつた理由としては、アースアンカーの挙動をくわと同様に扱つたこと、設計アンカ一体長と実際のアンカ一体長のちがひ、地盤を一層系で取扱つたことなど種々の要因が複雑に関連合してゐるものと考えられ、何が主原因であるかは判明できなかつた。

今回の解析結果と、これまでに発表されているPSアンカーに関するN値と最大摩擦応力度の関係式

$$T_{max} = 0.08 \bar{N} + 1.3 \quad (\text{kg/cm}^2)$$

と比較すると、解法(1)では T_{max} がやや小さめに、また解法(2)では T_{max} が大きめになつてゐることがわかつた。この理由として考えられるることは i)今回取扱つたデータが全てハイグラウトアンカーであつたこと、ii)解析方法が、従来のように荷重の小さい段階でもアンカ一体全長にわたつてアンカ一体と地盤との間に一様な相対変位領域が発生してゐるといふ考え方と異なることなどによるものと思われる。すなうち、解法(1)が小さめであることは主に前者の i)の理由により、解法(2)が大きめであることは後者の ii)の理由が支配的要因であるように考えることができ。

参考文献

- 牟田親弘、山門明雄、大地羊三：マトリックス法による横力を受けるくいの解法、土と基礎、1973、Vol. 19-3
- 山門明雄、大地羊三、牟田親弘：マトリックス法によるくいの非線形解析、土木学会第28回年次学術講演概要集第3部

アンカー名	1	2	3	4	5	6	7	8	9	10	11	12	13	14
地質名	砂礫	細砂	砂岩	砂礫	砂礫	砂礫	砂礫	砂礫	細砂	砂礫	砂礫	砂礫	砂礫	泥岩
設計荷重(t)	43	50	80	67	80	150	100	110	55	86	83	110	42	60
アンカ一体長(m)	7.5	9.5	6.0	8.0	21.2	5.8	12.9	7.8	18.0	9.0	10.5	16.5	6.3	5.8
アンカ一体径(cm)	13.5	11.5	11.5	11.5	11.5	14.5	14.5	13.5	13.5	13.5	13.5	13.5	11.5	13.5
N	15	21	50	45	19	50	10	50	21	50	50	33	50	43
\bar{T}_{max} (kg/cm²)	1.4	2.5	4.6	1.8	1.0	3.4	2.1	5.9	2.4	1.8	3.8	1.1	4.6	2.7
C_s (kg/cm²)	2.6	—	—	3.8	13	—	1.8	—	—	3.0	—	27	6.5	—
d (cm)	—	—	—	1.4	—	—	—	—	—	1.5	—	1.7	0.8	—
T_{max} (kg/cm²)	—	—	—	4.5	—	—	—	—	—	3.7	—	35	5.8	—
アンカー名	15	16	17	18	19	20	21	22	23	24	25	26	27	—
地質名	泥岩	砂礫	砂礫	土+砂 シルト質砂	砂礫	ローム質砂 シルト質砂	砂	砂礫						
設計荷重(t)	60	30	60	32	78	14	9.0	42	51	70	70	70	70	70
アンカ一体長(m)	5.8	9.0	4.6	12.1	9.7	6.4	17.5	8.4	17.5	17.2	26.0	17.5	16.9	—
アンカ一体径(cm)	13.5	12.0	13.5	13.5	11.5	12.0	11.5	13.5	14.0	13.5	13.5	13.5	13.5	—
N	43	45	40	35	25	20	23	42	46	29	20	45	36	—
\bar{T}_{max} (kg/cm²)	5.9	2.7	4.9	1.4	2.4	1.8	2.5	3.0	3.0	2.5	2.3	2.9	2.5	—
C_s (kg/cm²)	—	—	—	4.9	3.0	3.5	—	—	22	20	20	—	15	—
d (cm)	—	—	—	12	2.0	1.4	—	—	—	1.0	2.0	—	—	—
T_{max} (kg/cm²)	—	—	—	5.4	4.2	4.1	—	—	—	2.0	2.8	—	—	—

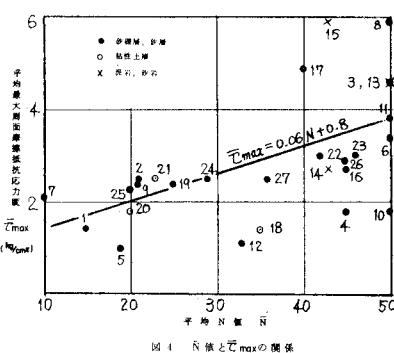
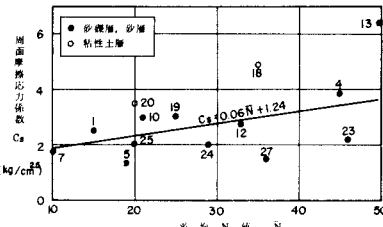
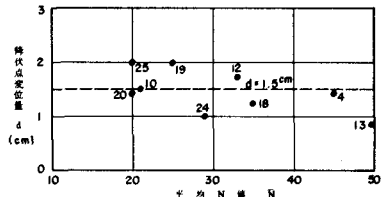
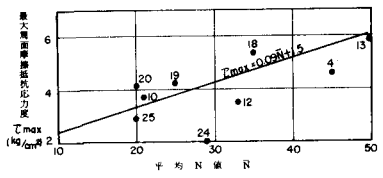
図4 N値と \bar{T}_{max} の関係図5 N値と C_s の関係

図6 N値とdの関係

図7 N値と T_{max} の関係